

## AEROMAGNETISK ANOMALIKART

AEROMAGNETIC ANOMALY MAP

Målestokk/Scale 1:250000

5 10 15

kilometres

WGS 84 / UTM zone 33N

Midtmeridian / Central Meridian: 15° E

## Generell beskrivelse

Kartet er sammensatt av flymagnetiske data. Flyhøyde, profilstand og profilavstand til de flymagnetiske målingene varierer mye. Profilstanden er minst over fastlands-Norge (0,5–2,5 km), og størst over kontinentalsockelen (3–6 km). Fjellområdene med ujevn topografi på Vestlandet og i Nord-Norge er målt på konstant barometrisk høyde (800, 1000 og 1500 m) mens det i de øvrige områdene på fastlands-Norge er flyget med konstant terrengrklaring (150 og 300 m). Magnetfeltet er ikke omregnet til en felles flyhøyde.

De flymagnetiske data fra fastlands-Norge og kontinentalsockelen er basert på et 500x500 m rutennett interpolert fra digitaliserte håndkonturerte kart. Anomalikartet er beregnet ved å trekke det globale referansfeltet DGRF 1965.0 (Definitive Geomagnetic Reference Field 1965.0) fra det magnetiske totalfeltet. Kartet er produsert med en pseudo-relleff teknikk med 'belysning' fra sørøst. Denne type kart framhever linjer og kontraster som ikke er lett synlige på konvensjonelle konturkart.

## General description

The map is based on airborne magnetic measurements. Flight altitudes, flying directions, and line-spacings of the aeromagnetic surveys vary widely. Line-spacings are smallest over mainland Norway (0.5–2.5 km) and largest over the continental shelf (3–6 km). The mountainous areas with rough topography in western and northern Norway were flown at a constant barometric height of (800, 1000 and 1500 m) while the remaining areas of mainland Norway were draped flown at (150 and 300 m elevation). No attempt was made to transform magnetic-anomaly data to a common elevation.

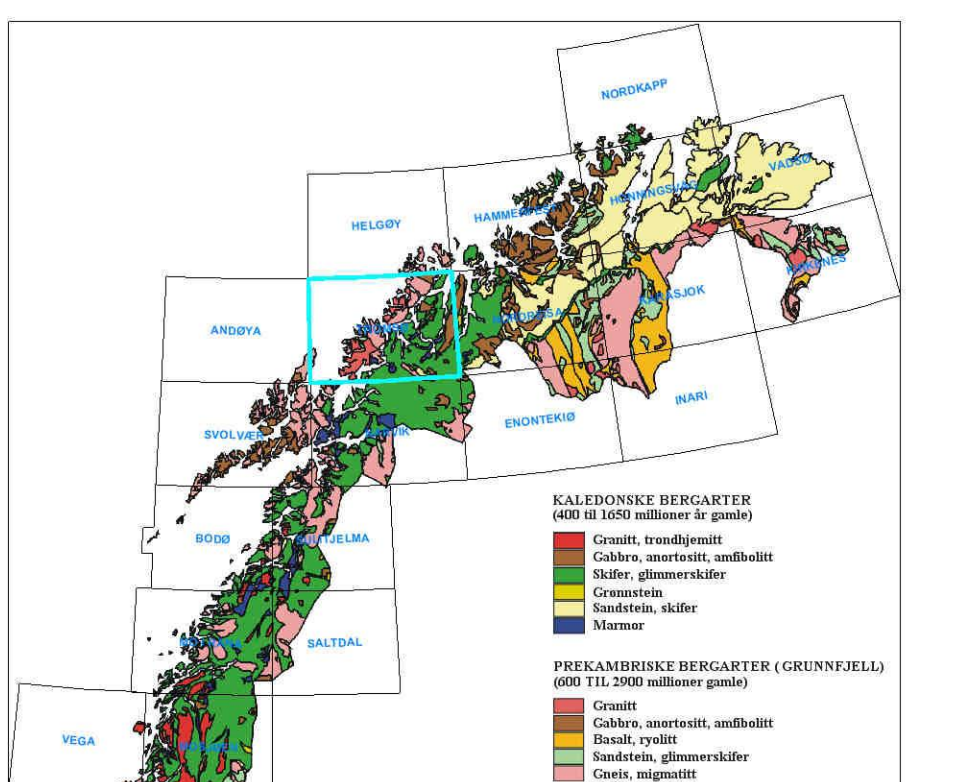
The map representation of the aeromagnetic data from mainland Norway and the Norwegian continental shelf are based on a 500x500m grid of values interpolated from digitised hand-drawn contour maps of the magnetic total field. The magnetic total field grid was reduced to anomaly values by subtracting the Definitive Geomagnetic Reference Field 1965.0 (DGRF 1965.0). The final map image was produced using a non-linear colour scale and hill-shading effect with a virtual light source from the southeast. The shading effect enhances linearities and contrasts not easily discernible in the conventional contour maps.

## Berggrunnsgeologisk kart

1: 250 000 Serie

Bedrock maps

1: 250 000 Series



## Tegnforklaring / Legend

- Susceptibilitet / Susceptibility, SI (utdrag fra database, minste avstand 1 km / extraction from database, minimum spacing 1 km)

- Bergartgrense / Lithological boundary (geologiske grenser tatt fra NGUs berggrunnsgeologiske kartserie 1:250 000 / geological boundaries are taken from the Geological Survey's corresponding 1:250 000 bedrock geological series)

- Forkastning / Fault

- Vei / Road

Koteavstander / Contour intervals 25, 100 &amp; 500 nT

Dette kartet er utgitt i samme målestokk som det gravimetriske residualkartet og det berggrunnsgeologiske kartet.

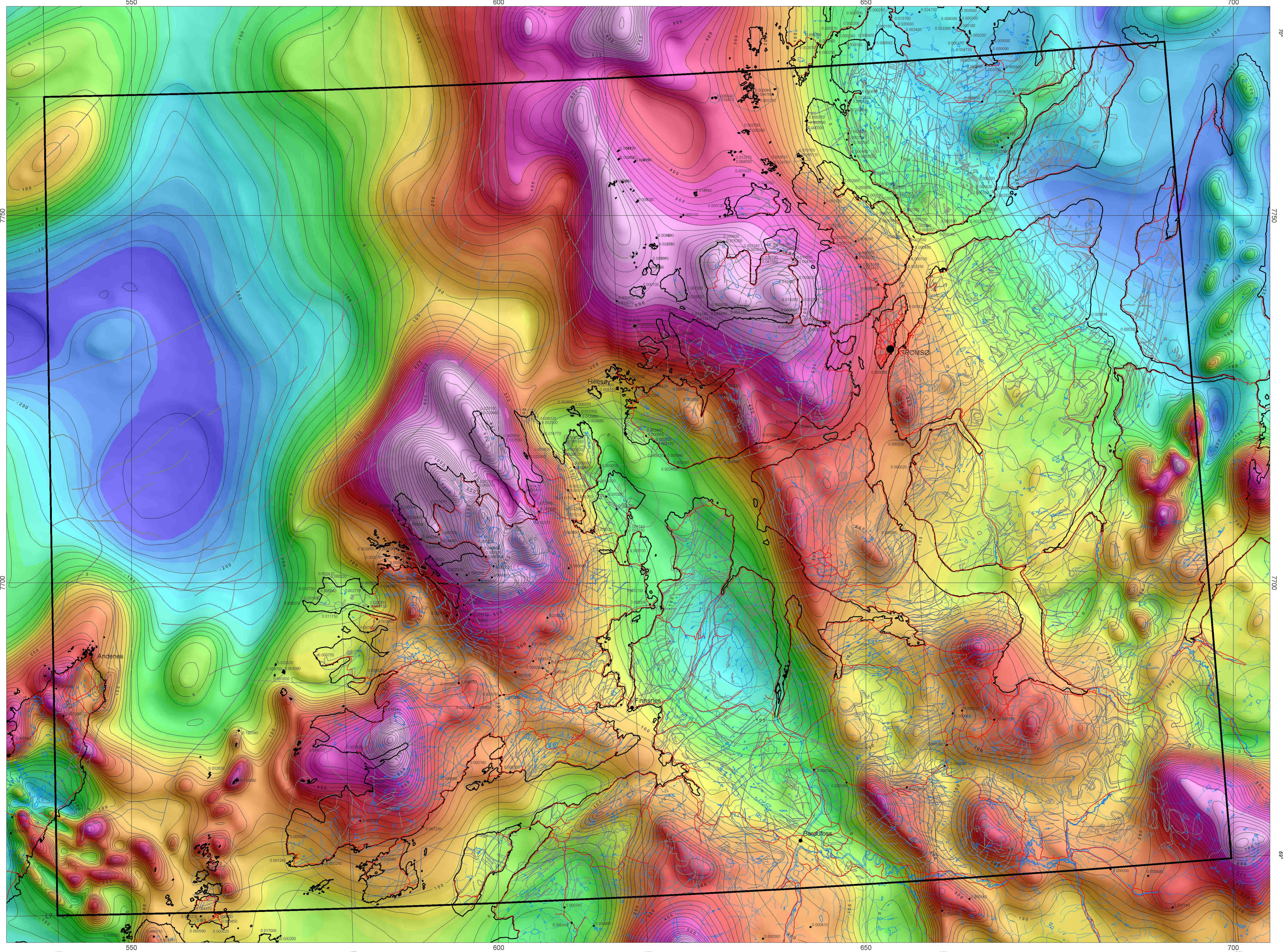
The present map covers the same area as the gravimetric and the bedrock geology maps.

## Referanse til kartet / Reference to this map:

Gellein, J.  
 Aeromagnetisk anomalikart, Tromsø Målestokk 1: 250 000.  
 Norges geologiske undersøkelse, N-7491 Trondheim (www.ngu.no).

Dette kartet kan bestilles fra:  
 Norges geologiske undersøkelse, N-7491 Trondheim (www.ngu.no).  
 This map can be obtained from:  
 Geological Survey of Norway, N-7491 Trondheim (www.ngu.no).

Kartgrunnlag: N250 fra Statens kartverk. Ref LKS8 2004/O3793

TYNGDEANOMALIKART  
Terrain-corrected Bouger anomalies

GRAVIMETRISK RESIDUALKART

GRAVITY RESIDUAL MAP

Terrain-corrected Bouger anomalies

mGal

-65 -58 -53 -47 -38 -29 -7 1 10 23 31 43 57 77

GRAVIMETRISK RESIDUALKART

GRAVITY RESIDUAL MAP

Terrain-corrected Bouger anomalies

mGal

-10 -1 4 8 12 16 20 24 28 32 36

AEROMAGNETISK 3D ANOMALIKART  
Magnetfeltet referert til DGRF 1965.0

AEROMAGNETISK ANOMALIKART

Magnetic field referred to DGRF 1965.0

3D ANOMALY MAP

Magnetic field referred to DGRF 1965.0

nT

-531.750 -560.000 -580.250 -600.000 -620.000 -640.000 -660.000 -680.000 -700.250

-255 -183 -107 -30 66 102 141 191 257 371 577

nT

-531.750 -560.000 -580.250 -600.000 -620.000 -640.000 -660.000 -680.000 -700.250

-255 -183 -107 -30 66 102 141 191 257 371 577

nT

-531.750 -560.000 -580.250 -600.000 -620.000 -640.000 -660.000 -680.000 -700.250

-255 -183 -107 -30 66 102 141 191 257 371 577

nT

-531.750 -560.000 -580.250 -600.000 -620.000 -640.000 -660.000 -680.000 -700.250

-255 -183 -107 -30 66 102 141 191 257 371 577

nT

-531.750 -560.000 -580.250 -600.000 -620.000 -640.000 -660.000 -680.000 -700.250

-255 -183 -107 -30 66 102 141 191 257 371 577

nT

-531.750 -560.000 -580.250 -600.000 -620.000 -640.000 -660.000 -680.000 -700.250

-255 -183 -107 -30 66 102 141 191 257 371 577

nT

-531.750 -560.000 -580.250 -600.000 -620.000 -640.000 -660.000 -680.000 -700.250

-255 -183 -107 -30 66 102 141 191 257 371 577

nT

-531.750 -560.000 -580.250 -600.000 -620.000 -640.000 -660.000 -680.000 -700.250

-255 -183 -107 -30 66 102 141 191 257 371 577

nT

-531.750 -560.000 -580.250 -600.000 -620.000 -640.000 -660.000 -680.000 -700.250

-255 -183 -107 -30 66 102 141 191 257 371 577

nT

-531.750 -560.000 -580.250 -600.000 -620.000 -640.000 -660.000 -680.000 -700.250

-255 -183 -107 -30 66 102 141 191 257 371 577

nT

-531.750 -560.000 -580.250 -600.000 -620.000 -640.000 -660.000 -680.000 -700.250

-255 -183 -107 -30 66 102 141 191 257 371 577

nT

-531.750 -560.000 -580.250 -600.000 -620.000 -640.000 -660.000 -680.000 -700.250

-255 -183 -107 -30 66 102 141 191 257 371 577

nT

-531.750 -560.000 -580.250 -600.000 -620.000 -640.000 -660.000 -680.000 -700.250

-255 -183 -107 -30 66 102 141 191 257 371 577

nT

-531.750 -560.000 -580.250 -600.000 -620.000 -640.000 -660.000 -680.000 -700.250

-255 -183 -107 -30 66 102 141 191 257 371 577

nT

-531.750 -560.000 -580.250 -600.000 -620.000 -640.000 -660.000 -680.000 -700.250

-255 -183 -107 -30 66 102 141 191 257 371 577

nT

-531.750 -560.000 -580.250 -600.000 -620.000 -640.000 -660.000 -680.000 -700.250

-255 -183 -107 -30 66 102 141 191 257 371 577

nT

-531.750 -560.000 -580.250 -600.000 -620.000 -640.000 -660.000 -680.000 -700.250

-255 -183 -107 -30 66 102 141 191 257 371 577

nT

-531.750 -560.000 -580.250 -600.000 -620.000 -640.000 -660.000 -680.000 -700.250

-255 -183 -107 -30 66 102 141 191 257 371 577

nT

-531.750 -560.000 -580.250 -600.000 -620.000 -640.000 -660.000 -680.000 -700.250

-255 -183 -107 -30 66 102 141 191 257 371 577

nT

-531.750 -560.000 -580.250 -600.000 -620.000 -640.000 -660.000 -680.000 -700.250

-255 -183 -107 -30 66 102 141 191 257 371 577

nT

-531.750 -560.000 -580.250 -600.000 -620.000 -640.000 -660.000 -680.000 -700.250

-255 -183 -107 -30 66 102 141 191 257 371 577

nT

-531.750 -560.000 -580.250 -600.000 -620.000 -640.000 -660.000 -680.000 -700.250

-255 -183 -107 -30 66 102 141 191 257 371 577

nT

-531.750 -560.000 -580.250 -600.000 -620.000 -640.000 -660.000 -680.000 -700.250